

Уменьшение концентрации атомов водорода в приповерхностных слоях сформированных структур под воздействием анализирующего пучка ионов азота  $N^+$  можно объяснить дегазацией атомов водорода и его соединений водорода, которые оказались химически слабо связаны с другими атомами покрытия.

Методом ионно-ассистируемого осаждения получены Ti/Si, Zr/Si и Mo/Si-структуры. Время осаждения покрытий составляло 1-6 ч при ускоряющем напряжении  $U = 5-10$  кВ и плотности ионного тока  $\sim 4-5$  мА/см<sup>2</sup>. В рабочей камере в процессе осаждения покрытий поддерживался вакуум при давлении  $\sim 10^{-2}$  Па.

Исследования поверхности Me/Si-структур, полученных ионно-ассистируемым осаждением металлсодержащих покрытий, с применением методов резерфордовского обратного рассеяния ионов гелия в сочетании с моделирование RUMP и резонансных ядерных реакций, показали, что сформированные структуры содержат атомы осажденного металла ( $\sim 5-10$  ат. %), атомы кремния из подложки (10–15 ат. %) и атомы технологических примесей: водорода (3–15 ат. %), углерода (20–25 ат. %) и кислорода (10–15 ат. %). Источником технологических примесей является летучая фракция углеводородов вакуумного масла диффузионного паромасляного насоса.

## ЛИТЕРАТУРА

1. Doolittle L.R. A semiautomatic algorithm for rutherford backscattering analysis // Nucl. Instr. Meth. Phys. Res. 1986. Vol. B15. P. 227–234.
2. Тульев В.В., Ташлыков И.С. Изучение композиционного состава покрытий на основе Cr, Ti и Zr, сформированных на алюминии и кремнии методом ионно-ассистированного нанесения в условиях саморадиации // Труды IV Междунар. науч. конф. «Радиационно-термические эффекты и процессы в неорганических материалах». Томск, 2004. С. 92–95.

УДК 536.24

Т. Б. Карлович, доц. (БГТУ, г. Минск, РБ)

## ИНТЕГРАЛ ДЖЕЛЕТТА ДЛЯ УРАВНЕНИЙ ДВИЖЕНИЯ ВОЛЧКА ТИР-ТОР В СЛУЧАЕ НЕНУЛЕВОГО МОМЕНТА СИЛЫ ТРЕНИЯ

Волчок tip-top является примером механической системы, которая может быть распечатана на 3D-принтере с высокой точностью и с которой можно проводить эксперименты без какого-либо специального

оборудования.

В настоящей работе нами использовался волчок, состоящий из тонкостенной сферы диаметром 38 мм и толщиной 1 мм, срезанной на одну четверть диаметра, и конусовидной ножки длиной 39 мм, имеющей меньший диаметр 3 мм в точке крепления шляпки к ножке и больший диаметр 5 мм на противоположной стороне ножки. Ножка и шляпка распечатывались по отдельности на 3D-принтере PLA-пластиком. Вес волчка составил 7 г, экваториальный и осевой моменты инерции соответственно были равны  $14,0 \text{ г}\cdot\text{см}^2$  и  $15,3 \text{ г}\cdot\text{см}^2$ , расстояние между центром масс и центром сферы составило 4 мм. Модель и прототип китайского волчка представлены на рис. 1.

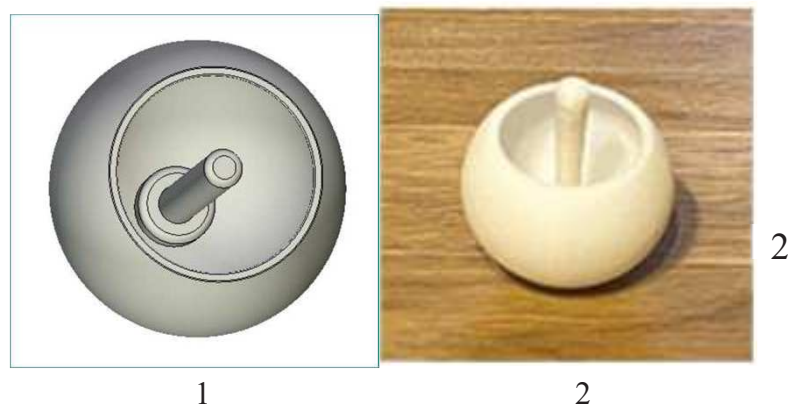
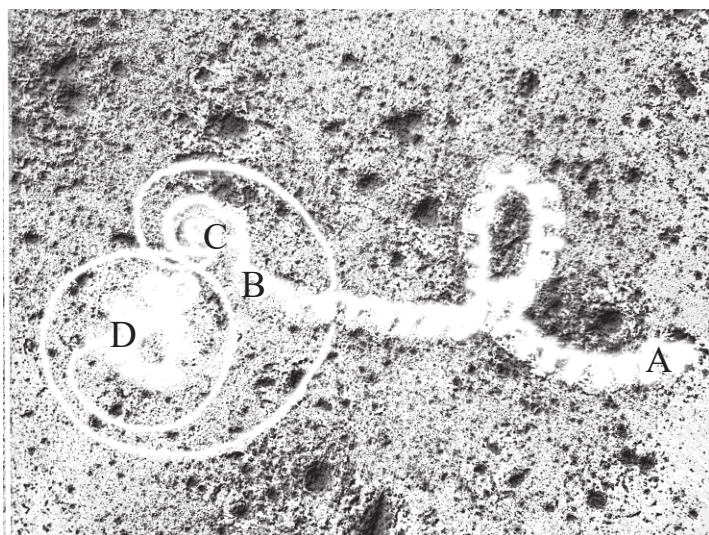


Рисунок 1 – Волчок tip-top: 1 – модель в компьютерной программе;  
2 – прототип, распечатанный на 3D – принтере

Волчок раскручивался вручную на горизонтальной поверхности с нанесенным на нее тонким слоем муки, позволяющем фиксировать траекторию движения точки касания волчка плоскости [1]. Негатив одной из таких траекторий, обведенный белым контуром для лучшей видимости, представлен на рис. 2. На отрезке  $AB$  происходит движение волчка на шляпке по непрямoliniейной спиралевидной траектории, в точке  $B$  происходит переворот на ножку и дальше движение продолжается по скручивающейся спирали до точки  $C$ , в точке  $C$  происходит обратный переворот волчка на шляпку и до точки  $D$  движение продолжается по скручивающейся спирали.



**Рисунок 2 – След точки касания волчка tip-top горизонтальной поверхности: *A* – начало движения волчка на шляпке, *B* – переворот волчка на ножке, *C* - обратный переворот на шляпку, *D* – конец движения**

Асимптотическое спиралевидное движение волчка предсказывается в работе [2] для тяжелого динамически симметричного тела сферической формы в случае малого расстояния между центром тяжести и центром сферы и малой силы трения скольжения. Причем качественно описываются как скручивающаяся спираль при движении волчка на ножке, так и раскручивающаяся спираль при движении на шляпке после опрокидывания волчка в точке *C*. Однако эти спирали получаются из эволюционирующей окружности радиуса, не превышающего радиус динамически симметричного тела. В нашем случае видимый радиус закручивания скручивающейся и раскручивающейся спиралей значительно превышает радиус сферы, описанной вокруг волчка, что может быть связано как с приближениями, используемыми в работе [2], так и с особенностями сил, действующих на рассматриваемый нами волчок *tip-top*.

Рассмотрим описание движения волчка на основе уравнений, включающих теорему об изменении количества движения и кинетического момента, кинематических уравнений Эйлера и безотрывности движения волчка по горизонтальной поверхности. В качестве неподвижной системы отсчета возьмем систему  $Oxyz$ , связанную с горизонтальной поверхностью, в качестве подвижной системы отсчета выберем систему  $G\xi\eta\sigma$ , связанную с волчком и имеющую начало в его центре масс (см. рис. 3).

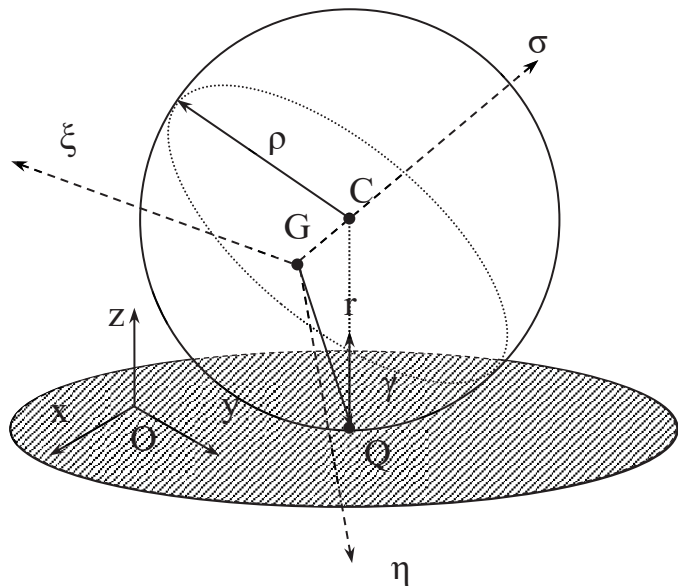


Рисунок 3 – Схематическое движение сферического волчка по горизонтальной плоскости  $Oxy$

Математическая модель эволюции волчка на горизонтальной поверхности, рассмотренная в работе [3] и дополненная моментом сил сопротивления воздуха (сила сопротивления воздуха не учитывается из-за малой скорости поступательного движения волчка по сравнению со скоростью вращательного движения), имеет вид

$$\begin{aligned}
 m\dot{\mathbf{v}} + \boldsymbol{\omega} \times m\mathbf{v} &= -mg\boldsymbol{\gamma} + \mathbf{R}, \\
 I\dot{\boldsymbol{\omega}} + \boldsymbol{\omega} \times I\boldsymbol{\omega} &= \mathbf{r} \times \mathbf{R} + \mathbf{M}, \\
 \dot{\boldsymbol{\gamma}} + \boldsymbol{\omega} \times \boldsymbol{\gamma} &= 0, \\
 (\mathbf{v} + \boldsymbol{\omega} \times \mathbf{r}) \cdot \boldsymbol{\gamma} &= 0,
 \end{aligned} \tag{1}$$

где  $m$  – масса волчка,  $\mathbf{v}$  – скорость центра масс,  $\boldsymbol{\omega}$  – угловая скорость,  $\mathbf{r}$  – радиус-вектор, проведенный из центра масс к нижней точке сферы  $Q$ ,  $\boldsymbol{\gamma}$  – единичный вектор восходящей вертикали,  $\mathbf{R}$  – реакция, приложенная в точке  $Q$ ,  $\mathbf{R} = \mathbf{F} + \mathbf{N}$ ,  $\mathbf{F}$  – сила трения (учитывается только сила трения скольжения (момент силы трения, представляемый в виде пары сил верчения и качения, обычно мал и им можно пренебречь),  $\mathbf{N}$  – нормальная составляющая реакции,  $\mathbf{M}$  – момент силы сопротивления воздуха.  $I$  – центральный тензор инерции волчка относительно осей координат  $G\xi$ ,  $G\eta$ ,  $G\sigma$ , связанных с его осью симметрии и перпендикулярной ей плоскостью. Предполагается, что моменты инерции относительно осей  $G\xi$  и  $G\eta$  одинаковы между собой, равны  $A$ , и отличаются от момента инерции относительно оси  $G\sigma - C$ , так что тензор инерции  $I$  имеет вид

$$I = \begin{pmatrix} A & 0 & 0 \\ 0 & A & 0 \\ 0 & 0 & C \end{pmatrix} \quad (2)$$

Покажем, что в случае отсутствия сопротивления воздуха имеет место интеграл Джелетта, означающий постоянство линейной комбинации проекций кинетического момента  $\mathbf{K} = I\omega$  на вертикаль  $\gamma$  и на ось динамической симметрии:

$$\mathbf{K} \cdot \mathbf{r} = \text{const} \text{ или } \dot{\mathbf{K}} \cdot \mathbf{r} + \mathbf{K} \cdot \dot{\mathbf{r}} = 0. \quad (3)$$

Для доказательства равенства воспользуемся разложением вектора  $\mathbf{r}$  и его производной на составляющие вектора:

$$\mathbf{r} = a\mathbf{e}_\sigma - \rho\gamma, \quad \dot{\mathbf{r}} = -\rho\dot{\gamma}, \quad (4)$$

где  $a$  – расстояние между центром сферы и центром масс,  $\rho$  – радиус сферы. В силу постоянства вектора  $\gamma$  справедливо следующее соотношение между вектором  $\gamma$  и его производной

$$\dot{\gamma} = \gamma \times \omega. \quad (5)$$

С учетом формул (4) и (5) и циклической перестановки в смешанном произведении векторов, второе слагаемое в формуле (3) можно представить в виде

$$\mathbf{K} \cdot \dot{\mathbf{r}} = \rho\gamma(\mathbf{K} \times \omega). \quad (6)$$

Для расчета первого слагаемого в формуле (3) сначала выразим из второго уравнения системы (1) производную кинетического момента

$$\dot{\mathbf{K}} = -\omega \times \mathbf{K} + \mathbf{r} \times \mathbf{R} + \mathbf{M}. \quad (7)$$

Далее рассмотрим векторное произведение угловой скорости и кинетического момента в формуле (7). Для этого разложим оба вектора по базису векторов подвижной системы отсчета  $\mathbf{e}_\xi, \mathbf{e}_\eta, \mathbf{e}_\sigma$  и запишем векторное произведение в виде определителя третьего порядка

$$\begin{aligned} \omega \times \mathbf{K} = \omega \times I\omega &= \begin{vmatrix} \mathbf{e}_\xi & \mathbf{e}_\eta & \mathbf{e}_\sigma \\ \omega_\xi & \omega_\eta & \omega_\sigma \\ A\omega_\xi & A\omega_\eta & A\omega_\sigma \end{vmatrix} = \\ &= \mathbf{e}_\xi(C - A)\omega_\eta\omega_\sigma - \mathbf{e}_\eta(C - A)\omega_\xi\omega_\sigma. \end{aligned} \quad (8)$$

Затем скалярно домножим левую и правую часть формулы (7) на

вектор  $\mathbf{r}$  и учтем тот факт, что векторное произведение кинетического момента и угловой скорости является вектором, лежащим в плоскости, перпендикулярной оси  $G\sigma$  в силу равенства экваториальных моментов инерции вдоль осей  $G\xi$  и  $G\eta$ . Тогда первое слагаемое равенства (3) записывается в виде

$$\begin{aligned}\dot{\mathbf{K}} \cdot \mathbf{r} &= (-\boldsymbol{\omega} \times \mathbf{K} + \mathbf{r} \times \mathbf{F} + \mathbf{M}) \cdot \mathbf{r} = -(\boldsymbol{\omega} \times \mathbf{K} + \mathbf{M}) \cdot (a\mathbf{e}_\sigma - \rho\boldsymbol{\gamma}) = \\ &= -\rho\boldsymbol{\gamma}(\mathbf{K} \times \boldsymbol{\omega}) + \mathbf{M} \cdot (a\mathbf{e}_\sigma - \rho\boldsymbol{\gamma}).\end{aligned}\quad (9)$$

Из формул (6) и (9) следует, что в случае равенства нулю момента сил сопротивления воздуха  $\mathbf{M}$ , суммарный результат формул (6) и (9) также равен нулю и интеграл Джелетта имеет место. В работе [2] была рассмотрена именно такая задача о движении шара по горизонтальной поверхности. Дополнительный учет сопротивления воздуха может модифицировать траекторию движения точки касания волчка горизонтальной поверхности в виде скручивающейся и раскручивающейся спиралей малого радиуса.

В работе экспериментально исследована траектория движения точки касания волчка tip-top горизонтальной поверхности. Показано, что после переворота волчка на ножку и подъема центра тяжести выше центра описанной вокруг него сферы он движется по скручивающейся спирали, а после обратного переворота на шляпку – по раскручивающейся спирали. Подобное движение шара описывается в теоретической работе [2], однако параметры спиралей не совпадают с предсказываемыми значениями. При сравнении теоретической и экспериментальной модели сделан вывод, что в теоретической модели необходимо дополнительно учитывать момент сопротивления воздуха, который, однако, усложняет ее, так как условия для существования интеграла Джелетта становятся невыполнимыми.

## ЛИТЕРАТУРА

1. Карлович Т.Б., Васеха А.П., Ласовский Р.Н. Экспериментальное исследование траектории точки касания волчка тип-топ с горизонтальной поверхностью при его движении // Труды БГТУ. Сер. 3, Физико-математические науки и информатика. – 2024. № 2 (284). С. 19-24.
2. Маркеев А.П. К динамике волчка // Изв. АН СССР. Механ. тв. тела. – 1984. № 3. С. 30-38.
3. Карапетян А.В. Глобальный качественный анализ динамики китайского волчка (тип-топ) // Известия Российской академии наук. Механика твердого тела. – 2008. Т. 43, № 3. С. 33-41.